

# A Novel Strategy for Classifying Potassium Fertilizer Based on pH Level Using Visible-Near-Infrared Hyperspectral Imaging and Machine Learning

M. H. Nargesil<sup>1\*</sup>, K. Khairalipour<sup>1</sup>, F. Valizadeh Kakhki<sup>2</sup>, Z. Moradi<sup>3</sup>

1- Biosystems Mechanical Engineering Department, Faculty of Agriculture, Ilam University, Ilam, Iran

2- Ph.D. in Environmental Science, Specialization in Environmental Pollutants, Ilam, Iran

3- Department of Chemistry, Faculty of Science, Ilam University, Ilam, Iran

(\*- Corresponding Author Email: [mohamadhossein.73@gmail.com](mailto:mohamadhossein.73@gmail.com))

<https://doi.org/10.22067/jam.2025.93983.1394>

## Introduction

Paying attention to the technical aspects of production plays a crucial role in increasing yield and ensuring sustainable agriculture. Organic fertilizers, such as poultry manure, contribute to plant growth by providing essential nutrients and improving soil quality. However, they alone cannot fully meet the nutritional needs of plants. The combination of organic and chemical fertilizers is an effective approach to enhancing soil fertility and boosting crop performance, ultimately leading to sustainable agricultural development. Integrated nutrient management also helps reduce the use of chemical fertilizers while minimizing their harmful effects on the environment. Potassium is an essential element in plant nutrition, playing a key role in processes such as photosynthesis, growth, chlorophyll production, and transpiration regulation. Additionally, under stress conditions, potassium enhances water uptake and regulates osmotic pressure, helping to maintain plant health. Potassium fertilizers are classified into two categories: chloride-based and chloride-free. Potassium sulfate, due to its lack of chloride, is a suitable option for chloride-sensitive crops such as tea, potatoes, and sugar beets. Meanwhile, hyperspectral imaging has emerged as an innovative technique with broad applications in detecting chemical parameters, assessing quality, and analyzing the purity of agricultural and food products. This study utilizes hyperspectral image processing technology to determine the pH level of potassium sulfate.

## Materials and Methods

The present study was conducted in the Image Processing Laboratory at the Ilam University, Iran. To determine the pH level of potassium sulfate, four different levels of 2.5, 2.6, 2.8, and 2.9 were considered. The pH measurement was performed in the laboratory using a flame photometer. The required images were obtained through hyperspectral imaging using the line-scan method. For each pH level, three samples were obtained and six hyperspectral images were captured for each sample, resulting in 18 images per pH level and a total of 72 hyperspectral images for each pH level. MATLAB software was used for the analysis and processing of these images. The image processing stage included wavelength selection, feature extraction, and feature selection. Finally, the selected features were classified using an artificial neural network.

## Results and Discussion

Principal Component Analysis performed on the hyperspectral image channels of potassium sulfate revealed significant variations in the principal component values across different pH levels. This finding indicates that pH conditions exert a considerable influence on the spectral response of the samples. Based on the prominent peaks obtained from the analysis, the most relevant channels were identified, and their corresponding wavelengths were determined as the optimal spectral bands. The selected channels for the four pH levels were 65, 327, 334, 482, 510, 607, and 644, with their corresponding effective wavelengths being 453.32, 669.95, 675.74, 798.11, 821.26, 901.47, and 932.06 nm, respectively. To extract discriminative spectral information, six features were computed from each of the selected wavelengths. Consequently, a total of 42 features were obtained, which were subsequently employed in the classification process of different pH levels. The confusion matrices of the classification model based on the artificial neural network were obtained to evaluate the model's accuracy. The classification accuracy for detecting the pH level of potassium sulfate was 98.6% with effective features and 97.2% without them.

## Conclusion

The results of this study demonstrated the high potential of hyperspectral imaging technology combined with the artificial neural network classification method, using strategies with and without effective feature selection, in detecting the pH level of potassium sulfate. The proposed method offers several advantages over laboratory-based

approaches, such as being non-destructive, having high speed, and being cost-effective. It is suggested to explore other methods for classifying hyperspectral images for determining the pH level of potassium sulfate. The proposed method in this study could also be applied in the future to identify various chemical elements in potassium sulfate.

**Keywords:** Artificial neural network, Chemical fertilizer, Hyperspectral imaging, Image processing, Machine learning

## راهبرد نوین طبقه‌بندی کود پتاسیم بر مبنای میزان pH با استفاده از تصویربرداری فراتیفی مرئی-فروسرخ نزدیک و یادگیری ماشینی

محمدحسین نرگسی<sup>۱\*</sup>، کامران خیرعلی‌پور<sup>۱</sup>، فاطمه ولی‌زاده کاخکی<sup>۲</sup>، زهرا مرادی<sup>۳</sup>

تاریخ دریافت: ۱۴۰۴/۰۳/۱۹

تاریخ پذیرش: ۱۴۰۴/۰۶/۰۴

### چکیده

در حوزه کشاورزی، علاوه بر کودهای آلی، انواع مختلفی از کودهای شیمیایی به منظور افزایش حاصلخیزی خاک و ارتقای عملکرد گیاهان مورد استفاده قرار می‌گیرند. پتاسیم به عنوان یکی از عناصر ضروری برای رشد گیاه، نقش کلیدی در فرآیندهای نظری فتوسنتز، سنتز کلروفیل و افزایش مقاومت گیاه در برابر تنش‌های محیطی ایفا می‌کند. یکی از شاخص‌های مهم در بررسی کیفیت کودهای پتانسیم اسیدیته آن‌هاست که تأثیر مستقیمی بر قابلیت جذب عناصر غذایی و اثربخشی کود دارد. در این پژوهش، با هدف توسعه روشی غیرمخرب و دقیق برای ارزیابی خصوصیات شیمیایی کود پتاسیم، از تصویربرداری فراتیفی در بازه طول موجی ۴۰۰ تا ۹۵۰ نانومتر استفاده شد. تصاویر چهار نمونه کود پتاسیم با سطوح متفاوت pH ثبت گردید و پس از پردازش اولیه، طول موج‌های مؤثر شامل ۸۶۹/۹۵، ۸۲۱/۲۶، ۷۹۸/۱۱ و ۹۰۱/۴۷ نانومتر انتخاب شدند. از کانال‌های تصویری متناظر با این طول موج‌ها، مجموعه‌ای از ویژگی‌های طبیعی و آماری استخراج شد. بهمنظور طبقه‌بندی سطوح مختلف pH، با استفاده از یادگیری ماشینی، از شبکه عصبی مصنوعی بهره گرفته شد. نتایج نشان داد مدل بهینه در حالت استفاده از تمامی ویژگی‌ها دارای ساختار ۴-۴-۶ و در حالت استفاده از ویژگی‌های منتخب، دارای ساختار ۷-۴-۴ است. دقت طبقه‌بندی این دو مدل به ترتیب برابر با ۹۸/۶ و ۹۷/۲ درصد به دست آمد. یافته‌های این مطالعه بیانگر آن است که ترکیب تصویربرداری فراتیفی و الگوریتم‌های یادگیری ماشینی، روشی کارآمد، سریع، غیرمخرب و مقوون به صرفه برای پایش کیفیت شیمیایی کودهای پتانسیمی مناسب برای روش‌های آزمایشگاهی مرسوم باشد.

**واژه‌های کلیدی:** پردازش تصویر، تصویربرداری فراتیفی، شبکه عصبی مصنوعی، کود شیمیایی، یادگیری ماشینی

Allahvirdizadeh & Deljou, 2014; Chen, 2006; Zhao et al., 2016

یافته‌های پژوهشی نشان می‌دهد که این رویکرد نه تنها موجب افزایش بهره‌وری محصولات می‌گردد، بلکه گامی مؤثر در جهت توسعه کشاورزی ارگانیک و پایدار نیز بهشمار می‌آید (Griffe, 2003). در کشاورزی مدرن، کودهای شیمیایی به عنوان یکی از مهم‌ترین نهادهای شناخته می‌شوند و استفاده از آن‌ها برای افزایش عملکرد محصولات، بهویژه در کشورهای توسعه‌یافته و در حال توسعه، رایج و موفقیت‌آمیز بوده است (Al-Taai, 2021; Scharf et al., 2005) بدون تعذیب مناسب و معادل، دستیابی به عملکرد بالا امکان‌پذیر نخواهد بود.

پتاسیم یکی از عناصر اساسی و پرمصرف در تعذیب گیاهان است که نقش مهمی در فرآیندهای فیزیولوژیکی مرتبط با رشد، سلامت و مقاومت گیاه در برابر تنش‌های زیستی و غیرزیستی ایفا می‌کند.

### مقدمه

توجه به جنبه‌های فنی تولید بهمنظور افزایش کمیت محصول، از الزامات اساسی در راستای تحقق کشاورزی پایدار بهشمار می‌رود (Kheiraliipour, 2022). در این میان، کودهای آلی با فراهم کردن عناصر غذایی مورد نیاز گیاه، بهبود کیفیت خاک و افزایش عملکرد محصولات، نقش قابل توجهی در کشاورزی ایفا می‌کنند (Perramon, 2016). مصرف کودهای آلی به تنها یابی قادر به تأمین کامل نیازهای تغذیه‌ای گیاهان Pandey & Patra, 2015; Siadat & Moradi-Telavat, 2018) نیست. ازین‌رو، ترکیب کودهای آلی و شیمیایی به عنوان رویکردی مؤثر برای افزایش حاصلخیزی خاک و بهبود عملکرد گیاه، گزینه‌ای امیدبخش برای کشاورزی پایدار محسوس می‌شود.

\*- گروه شیمی، دانشکده علوم پایه، دانشگاه ایلام، ایلام، ایران  
\*\*- نویسنده مسئول: mohamadhossein.73@gmail.com  
<https://doi.org/10.22067/jam.2025.93983.1394>

۱- گروه مهندسی مکانیک بیوسیستم، دانشکده کشاورزی، دانشگاه ایلام، ایلام، ایران

۲- دکتری محیط‌بیست گرایش آводگی‌های محیطی، ایلام، ایران

جدیدترین روش‌ها، قادر است به طور همزمان اطلاعات مکانی و طیفی را ثبت کند (Aviara, Liberty, Olatunbosun, Shoyombo, & Oyeniyi, 2022; Gowen, O'Donnell, Cullen, Downey, & Frias, 2007; Kheiralipour, 2012; Kheiralipour, 2024) این روش از حساسیت بالایی نسبت به ساختار و ترکیب مواد برخوردار است (Gowen *et al.*, 2007; Soni, Dixit, Reis, Brightwell, 2022) و به همین دلیل، در مطالعات گوناگونی همچون شناسایی Khan *et al.*, 2020; Saha & Manickavasagan, 2017) و ویژگی‌های کیفی (Wu, Zhu, Huang, & Xu, 2021) مخصوصات کشاورزی به کار رفته است (Kheiralipour *et al.*, 2014).

ترکیب تصویربرداری فراتیفی با الگوریتم‌های یادگیری ماشینی، امکان تحلیل دقیق تر و کاربردهای گستردگرتری را فراهم ساخته است؛ از جمله: ارزیابی کیفیت محصولات کشاورزی (Kheiralipour, Sajadipour, & Nargesi, 2025; Nashmil, Mardani, Hosainpour, & Golani, 2024; Sharma *et al.*, 2023) شناسایی مواد تقلیلی (Nargesi, Amiriparian, Bagherpour, 2024b; Park *et al.*, 2023; Yang *et al.*, 2023) تعیین کمی ترکیبات غذایی (Li *et al.*, 2023) و تشخیص انواع آرد (Nargesi, Kheiralipour, & Jayas, 2024c).

در روش تصویربرداری فراتیفی داده‌های زیادی ثبت می‌شود که تحلیل آن‌ها پیچیده است. در این راستا، یادگیری ماشینی به دلیل توانایی‌های خودکار و سازگاری پویا، به عنوان ابزاری مؤثر برای تحلیل داده‌ای پیچیده در نظر گرفته می‌شود (Kheiralipour, Ahmadi, Rajabipour, & Rafiee, 2018; Kheiralipour, Sajadipour, & Nargesi, 2025; Lin, Ma, Wang, & Sun, 2023) شوئه و همکاران (Xue *et al.*, 2025) به بررسی تشخیص غیرمخرب مقدار pH در طول تخریب تأثیرگذاری سیالات ذرت با استفاده از آرایه حسگر رنگ‌سنجی ترکیب شده با فناوری تصویربرداری فراتیفی پرداخته است. همچنین با وجود پیشرفت‌های صورت گرفته، تاکنون مطالعه‌ای به طور خاص به بررسی تشخیص میزان pH در کود پتابسیم با استفاده از HSI و یادگیری ماشینی صورت نگرفته است. بنابراین، تحقیق حاضر با هدف توسعه یک مدل طبقه‌بندی مبتنی بر شبکه عصبی مصنوعی انجام شده است که قادر به شناسایی میزان pH در کود پتابسیم بر اساس طیف‌های HSI باشد.

## مواد و روش‌ها

### آماده‌سازی نمونه‌های کود پتابسیم

مراحل مختلف تحقیق حاضر، شامل تعیین مقادیر pH نمونه‌های پتابسیم به صورت آزمایشگاهی، تهیه تصاویر فراتیفی از نمونه‌ها و فرآیند تجزیه و تحلیل داده‌ها در شکل ۱ نشان داده شده است.

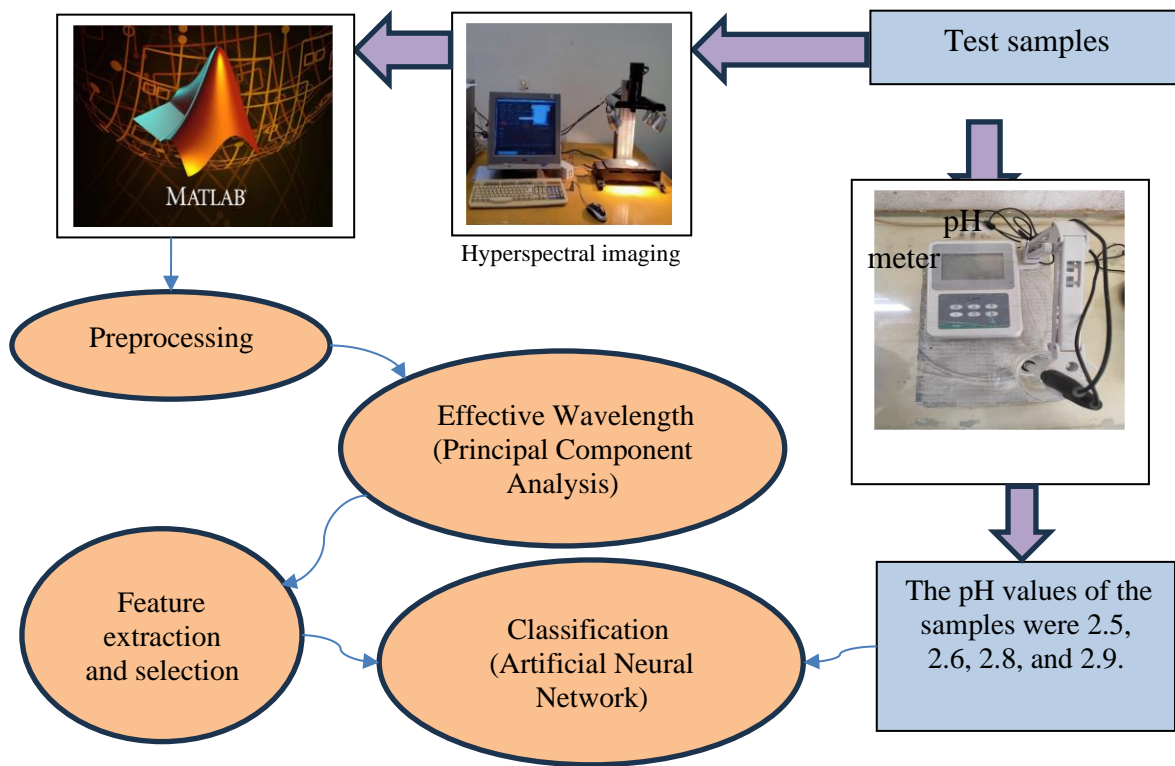
هنگامی که گیاه با کمبود عناصر غذایی مواجه می‌شود، علائم تنفس از Sun, Tong, He, (Wang, & Chen, 2018) اما ظهور این علائم زمان بر است و به همین دلیل تشخیص را با محدودیت زمانی مواجه می‌سازد. بر اساس سازوکار رشد گیاه، اثرات کمبود NPK بر رشد برگ‌ها به صورت بروز علائم تنفس و پویایی زمانی این علائم (یعنی شکل گیری و گسترش آن‌ها) ظاهر می‌شود (Qi, Wang, & Guo, 2017). این عنصر در افزایش میزان فتوسنتز، رشد رویشی، شاخص سطح برگ، تقویت سنتز ATP و NADPH، افزایش ساخت کلروفیل a و b، بهبود انتقال مواد نیتروژن به دلنه‌ها، افزایش سنتز پروتئین‌ها و ترکیبات پلیمری، تنظیم باز و بسته شدن روزنه‌ها، افزایش تعداد روزنه‌ها و کاهش تعرق تأثیرگذار است. همچنین در شرایط تنفس، پتابسیم با بهبود جذب آب و تنظیم فشار اسمزی، شرایط داخلی مناسبی برای گیاه فراهم می‌کند (Sakinejad, 2003). به عنوان نمونه، در پژوهشی مشخص شد که در گیاه شنبه‌لیله، مصرف ۴۰۰ میلی‌گرم پتابسیم در ۱۰۰ لیتر آب، بیشترین میزان رشد و عملکرد را به همراه داشت؛ به طوری که ارتفاع گیاه به ۵۸/۳۵ سانتی‌متر، تعداد شاخه‌ها به ۶۶/۵ عدد در هر گیاه، تعداد غلاف‌ها به ۱۶/۱۲ عدد، تعداد دانه در هر غلاف به ۵۰/۱۱ دانه و عملکرد کل به ۵۰/۳۰۵ کیلوگرم در هکتار رسید (Naser, 2017).

کودهای پتابسیم به طور کلی به دو گروه اصلی تقسیم می‌شوند: کودهای حاوی کلر (مانند کلرید پتابسیم) و کودهای بدون کلر (مانند سولفات پتابسیم). کلرید پتابسیم (KCl) به دلیل داشتن یون کلر، ممکن است برای برخی محصولات زراعی مضر باشد؛ چرا که موجب افزایش شوری و pH خاک می‌شود. در مقابل، سولفات پتابسیم (K<sub>2</sub>SO<sub>4</sub>) که فاقد کلر است، گزینه‌ای مناسب برای گیاهان حساس به کلر به شمار می‌آید و به ویژه برای محصولاتی مانند تباکو، چای، سیب‌زمینی، هندوانه و چغندر قند مفید بوده و در بهبود رشد و کیفیت آن‌ها نقش دارد (Ahmad, Anjum, Waraich, Ayub, & Ahmad, 2018; Shabbir Dar *et al.*, 2021).

آزمایش‌های شیمیایی رایج برای اندازه‌گیری pH کودهای پتابسیمی، اسیدی یا بازی بودن محلول کود را مشخص می‌کنند و تأثیر آن بر خصوصیات خاک را مورد ارزیابی قرار می‌دهند. فرآیند لندازه‌گیری pH با استفاده از pH متر نیازمند نمونه‌گیری است و به صورت آنلاین قابل انجام نمی‌باشد. در این راستا، توسعه ابزارهایی که امکان به کار گیری آنلاین دارند دارای اهمیت بالایی است. بنابراین، هدف اصلی این پژوهش، طراحی و معرفی روشی سریع، برای طبقه‌بندی میزان pH در کود پتابسیم است. در سال‌های اخیر، روش‌های مختلف تصویربرداری برای بررسی کیفیت و ایمنی مواد به کار گرفته شده‌اند (Marzbani & Kheiralipour, 2016; Nargesi & Kheiralipour, 2024; Salam, Kheiralipour, & Jian, 2022). تصویربرداری فراتیفی (HSI) به عنوان یکی از

مقدار ۵۰ گرم از هر نمونه بر روی ظرف مخصوص قرار داده شد و سطح آن به طور یکنواخت صاف گردید. سپس تصویربرداری از نمونه با استفاده از دوربین فراتیفی انجام و داده‌های تصویری به صورت مستقیم در رایانه شخصی ذخیره شد.

نمونه‌های کود پتاسیم از شرکت مجتمع صنایع شیمیایی ایوان، ایلام، ایران تأمین گردید. سپس، برای انجام مراحل بعدی آزمایش، ۵۰ گرم از نمونه‌های آماده شده در کیسه‌های زیپ‌دار قرار داده شد تا در مرحله تصویربرداری فراتیفی مورد استفاده قرار گیرند. بدین منظور،



شکل ۱- مراحل پژوهش

**Fig. 1.** Research steps

(Emmert, & Kamruzzaman, 2025).

در این پژوهش، برای ثبت تصاویر فراتیفی نمونه‌ها، از یک سامانه تصویربرداری فراتیفی مرئی-فروسرخ نزدیک (مدل Specam ۹۵۰ تا ۴۰۰ نانومتر در آزمایشگاه پردازش تصویر دانشگاه ایلام، ایلام، ایران، استفاده شد (شکل ۱). بخش نورپردازی سامانه تصویربرداری دارای چهار لامپ ال‌ای‌دی با توان ۲۵ وات می‌باشد. لامپ‌ها در بالا نمونه و با زاویه ۴۵ درجه قرار گرفتند. این سامانه به متوری مجهز بود که امکان اسکن خطی با حرکت خطی نمونه را فراهم می‌کرد. این قابلیت اجازه می‌دهد نمونه‌ها نسبت به حسگر حرکت کرده و بخش‌های مختلف آن‌ها را اسکن کند.

برای هر سطح pH، سه نمونه و از هر نمونه شش تصویر فراتیفی (فرامکعب) به دست آمد به طوری که از هر سطح تعداد ۱۸ تصویر

تصویربرداری فراتیفی مرئی-فروسرخ نزدیک

یک سامانه تصویربرداری فراتیفی معمولاً شامل یک دوربین فراتیفی، اجزای نوری، منبع نور و یک رایانه مجهز به نرم‌افزار برای کنترل فرآیند تصویربرداری و پردازش‌های بعدی مانند دیجیتالی‌سازی، Ismail, Yim, Kim, & Jo, 2023; Kheiralipour, Chelladurai, & Jayas, 2023a; Kheiralipour & Jaya, 2023; Min et al., 2023. اجزای نوری این سامانه شامل لنز، طیفسننج (یا واحد پراکنده طیفی)، فیلترهای نوری و عناصر کالیبراسیون می‌شود. انتخاب مناسب این اجزا نقش مهمی در بهبود عملکرد سامانه HSI و ثبت تصاویر ابراطیفی باکیفیت و دقیق ایفا می‌کند. انتخاب دقیق طیف نوری، شدت، پایداری، و ویژگی‌های منبع نور بر اساس نیازهای خاص هر کاربرد ضروری است (Kheiralipour & Jayas, 2024; Ahmed, Khaliduzzaman,

عملکرد طبقه‌بندی از اهمیت بالایی برخوردار است. از این‌رو، در این مطالعه ابتدا طول موج‌های مؤثر شناسایی شده و سپس ویژگی‌های مؤثر استخراج شده از این طول موج‌ها انتخاب گردید. ویژگی‌های غیرضروری حذف شده تا مدل طبقه‌بندی با داده‌های بهینه‌تری آموزش داده شود. برای بهبود دقت طبقه‌بندی و کاهش پیچیدگی محاسباتی، کاهش حجم داده‌های ورودی ضروری بود. بنابراین، در مرحله بعد، موثرترین طول موج‌ها از تصاویر انتخاب شدند تا داده‌های Arif کلیدی برای تحلیل نهایی مورد استفاده قرار گیرند (Chaudhry, Bane, McAllister, Paliwal, & Narváez-Bravo, 2025; Kheiralipour *et al.*, 2021; Nargesi, Heidarbeigi, Moradi, & Abdolah, 2024a).



شکل ۲- قسمت برش خورده یک تصویر نمونه در طول موج ۶۴۷/۶۳ نانومتر  
Fig. 2. Cropped section of a sample image at 647.63 nm wavelength

### انتخاب ویژگی‌های کارا

از آنجایی که برای هر کانال تصویر شش ویژگی استخراج شد، طبقه‌بندی این ویژگی‌ها کاری زمان بر است و ممکن است منجر به کاهش دقت آن شود. در میان آن‌ها، چند ویژگی به عنوان ویژگی‌های کارآمد انتخاب شدند. برای انتخاب ویژگی‌های کارآمد، از روش انتخاب ویژگی متوالی (Sequential Feature Selection) استفاده شد. این روش، ویژگی‌های کارآمد را بر اساس معیار انحراف برازش (تعیین مجموع مربعات باقیمانده) پیدا می‌کند. برای این منظور، الگوریتمی در نرم‌افزار MATLAB طراحی و برنامه‌نویسی شد. در الگوریتم توسعه‌یافته، داده‌های ورودی، ویژگی‌های استخراج شده و هدف، کلاس‌های مورد مطالعه بودند. خروجی الگوریتم پس از اجراء، مجموعه‌ای از ویژگی‌های کارآمد بود (Bagherpour, Fatehi, Shojaeian, & Bagherpour, 2025; Hosainpour, Kheiralipour, Nadimi, & Paliwal, 2022; Khazaee, Kheiralipour, Hosainpour, Javadikia, & Paliwal, 2022; Kheiralipour, 2022). این روش بر پایه معیار انحراف برازش عمل

فراطیفی ثبت شد. در مجموع ۷۲ تصویر فراتیفی کسب شد.

### پیش‌پردازش

برای پردازش تصاویر فراتیفی، یک الگوریتم اختصاصی در محیط نرم‌افزار MATLAB نسخه ۲۰۱۶ (شرکت متورکس، کارلس‌باد، کالیفرنیا، آمریکا) طراحی و پیاده‌سازی شد. این الگوریتم ابتدا فرآیند پیش‌پردازش را بر روی تصاویر فراتیفی انجام می‌دهد. به همین منظور، ناحیه مرکزی تصاویر به ابعاد ۲۰۴۰×۲۰۴۰ پیکسل را برش داده و آن‌ها را برای مراحل بعدی پردازش آماده می‌کند (شکل ۲). با توجه به تعداد بالای متغیرهای ورودی، کاهش ابعاد داده‌ها به منظور بهبود

### شناسایی طول موج‌های مؤثر و استخراج ویژگی

پس از انجام مرحله پیش‌پردازش تصاویر، فرآیند انتخاب طول موج‌های مؤثر انجام شد. برای این منظور، از روش تحلیل مؤلفه‌های اصلی<sup>۱</sup> (PCA) برای شناسایی طول موج‌های کلیدی استفاده گردید. انتخاب این طول موج‌ها بر اساس محاسبه میانگین دو مؤلفه اصلی اول (PC1) و دوم (PC2) صورت گرفت، به طوری که طول موج‌های مهم تصاویر با توجه به نقاط اوج (پیک) منحنی‌های PC1 و PC2 تعیین شدند (Fernandez, Allende-Prieto, & Peon, 2019; Hasan *et al.*, 2022; Kheiralipour *et al.*, 2015b).

پس از انتخاب طول موج‌های مناسب، ویژگی‌های مختلفی از کانال‌های مربوط به این طول موج‌ها استخراج شد. این ویژگی‌ها شامل میانگین، حداقل، حداکثر، میانه، واریانس، و انحراف معیار طول Kheiralipour *et al.*, 2014; Nargesi, 2024).

۱- Principal Component Analysis

نتایج و پژوهش

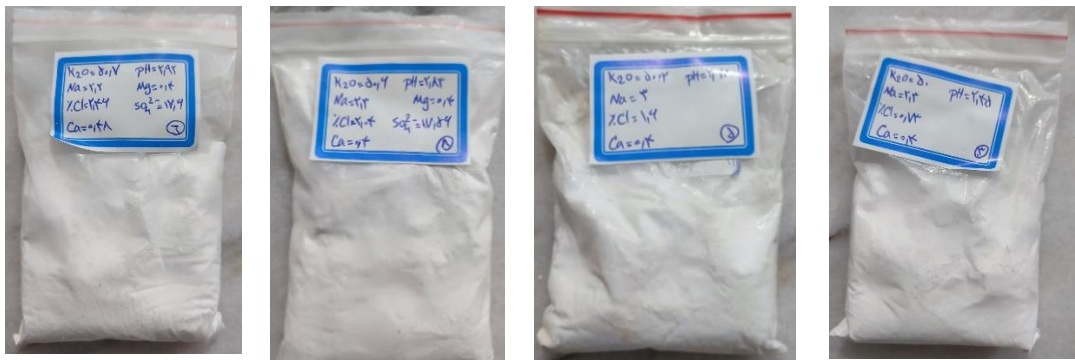
میزان pH نمونه‌ها

میزان pH چهار نمونه کود پتاسیم با استفاده از روش آزمایشگاهی اشاره شده در بخش مواد و روش‌ها اندازه‌گیری شد. محدوده اندازه‌گیری شده pH نمونه‌ها ۰/۵، ۰/۶، ۰/۸ و ۰/۹ بود (Pahalvi, 2021). بر این اساس، نمونه‌ها برای تصویربرداری آماده شدند (شکل ۳). نمونه‌ها با چهار میزان متفاوت pH شامل ۰/۵، ۰/۶، ۰/۸، و ۰/۹ تهیه و در کیسه‌های میزان pH ۵۰۰ متر مدل ۵۰۰ PH، ساخت شرکت کلین، چین، پتاسیم با استفاده pH میزان pH ۱۰۰ میلی لیتر) حل شد. محلول حاصل به مدت ۳۰ دقیقه توسط همزن مغناطیسی همزده شد تا یون‌های موجود به طور کامل آزاد شوند و مقدار pH به حالت تعادل برسد. پس از صاف‌سازی محلول، الکترود pH درون آن قرار گرفت و پس از پایدار شدن عدد نمایشگر، مقدار pH اندازه‌گیری و ثبت شد (Ding, Zhang, Ahmed, Liu, & Qin, 2019; Noshirvani & Mohebbi, 2023).

می‌کند که با محاسبه مجموع تعیین‌یافته مجدور باقیمانده‌ها،  
Kheiralipour *et al.*, 2021; ویژگی‌های مؤثر را تعیین می‌کند (Kheiralipour *et al.*, 2023a; Nargesi & Kheiralipour, 2024).

طبقہ بندی

در این تحقیق، تشخیص میزان pH کود پتابسیم با استفاده از روش شبکه عصبی مصنوعی مورد بررسی و ارزیابی قرار گرفت. در روش شبکه عصبی مصنوعی، داده‌های ورودی شامل ویژگی‌های تصاویر (طبقه‌بندی داده‌های تصاویر فراتیفی با دو راهبرد با و بدون انتخاب ویژگی) کارآمد صورت گرفت: یک بار بر اساس ویژگی‌های کارا و یک بار تمامی ویژگی‌های استخراج شده و داده‌های خروجی مربوط به طبقه‌ها (سطوح مختلف pH) بودند. توابع فعال سازی لایه پنهان و لایه خروجی به ترتیب tensing و purelin بودند. الگوریتم آموزش Levenberg-Marquardt به دلیل سرعت بالا و جلوگیری از آموزش بیش از حد شبکه برای جلوگیری از یادگیری نامناسب مدل Kheiralipour, Ahmadi, Rajabipour, Rafiee, & استفاده شد (Kheiralipour, Ahmadi, Rajabipour, Rafiee, & 2022). این داده‌ها به طور تصادفی به سه مجموعه (۲۰، ۴۰ و ۶۰ درصد) به ترتیب برای آموزش، اعتبارسنجی و آزمون تقسیم شدند (Khazaee et al., 2022; Nargesi & Kheiralipour, 2024; Nargesi et al., 2024c).



**شکا، ۳- آماده‌سازی، نمونه‌های، آزمایش**

**Fig. 3.** Preparation of test samples

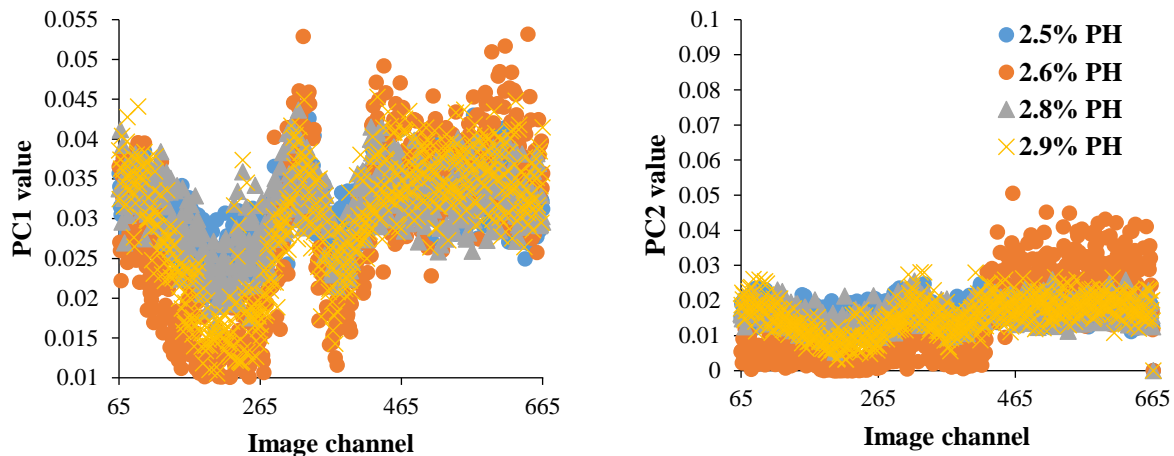
نمودارها، کانال‌های مؤثر تصویر شناسایی و انتخاب شدند. سپس با استفاده از این کانال‌ها، طول موج‌های متناظر و بهینه در تصاویر فراطیفی تعیین گردیدند. کانال‌های انتخاب شده برای چهار سطح مختلف pH عبارتند از: ۵۶۵، ۳۳۷، ۳۳۴، ۴۸۲، ۵۱۰، ۶۰۷ و ۶۴۴ که در شکل ۴ به طور مشخص قابل مشاهده‌اند. طول موج‌های مؤثر متناظر با این کانال‌ها به ترتیب برابر با ۴۵۳/۳۲، ۵۶۹/۹۵، ۵۷۵/۷۴، ۵۹۸/۱۱، ۶۶۹/۹۵ و ۹۳۲/۰۶ نانومتر بودند. برای استخراج ویژگی‌های

طواری موجہاں موٹ

نمودارهای مربوط به دو مؤلفه اصلی اول حاصل از تحلیل مؤلفه‌های اصلی (PCA) برای کانال‌های تصویر فرآیندی سولفات پتاسیم (شامل ۶۵ کانال) در شکل ۴ نمایش داده شده‌اند. همان‌طور که در این نمودار قابل مشاهده است، مقادیر مؤلفه‌های اصلی در سطوح مختلف pH تفاوت قابل توجهی دارند که نشان‌دهنده تأثیر شرایط pH بر اطلاعات طبقه است. بر اساس بیک‌هایی، بر حسته موجود در این

فرآیند طبقه‌بندی سطوح مختلف pH مورد استفاده قرار گرفتند.

مؤثر از این طول‌موج‌های منتخب، از هر طول‌موج شش ویژگی استخراج شد. در نتیجه، در مجموع ۴۲ ویژگی حاصل گردید که در



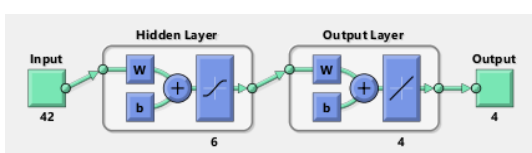
شکل ۴- نمودارهای تحلیل مولفه‌های اصلی PC1 و PC2 برای داده‌های pH کود پتاسیم

**Fig. 4.** PC1 and PC2 principal component analysis plots for potassium fertilizer pH data

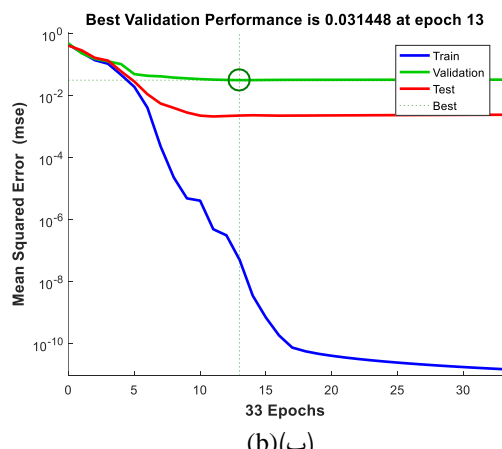
شش بهدست آمد (شکل ۵-الف). بهترین عملکرد اعتبارسنجی شبکه در دور شماره ۱۳ با مقدار  $0.031448$  مشاهده گردید (شکل ۵-ب). ضرایب همیستگی طبقه‌بندی شبکه عصبی مصنوعی برای داده‌های آموزش، اعتبارسنجی، آزمون، و تمام داده‌ها به ترتیب  $0.000000$ ،  $0.000000$ ،  $0.000000$  و  $0.000000$  بود (شکل ۵-ج). با استفاده از این مدل، ۷۱ نمونه از  $98/22$  و  $99/40$  نمونه به درستی شناسایی شدند (شکل ۵-د). نرخ طبقه‌بندی  $72$  صحیح مدل بهینه برای طبقه‌بندی میزان pH بر اساس تمام ویژگی‌های کارآمد برابر با  $98/6$  درصد بود.

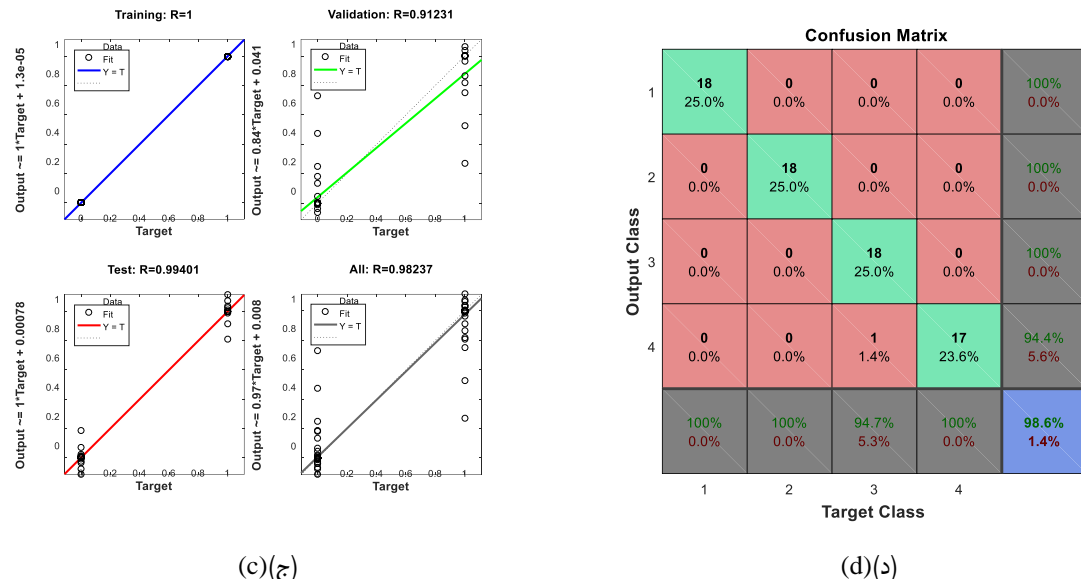
#### طبقه‌بندی بدون انتخاب ویژگی

نتایج طبقه‌بندی با استفاده از روش ANN بر اساس تمام ویژگی‌های استخراج شده در شکل ۷ نمایش داده شده است. سطوح مختلف pH طبقه‌بندی شدند. در این مدل طبقه‌بندی، شبکه بهینه دارای ساختار  $42-6-4$  بود، یعنی تعداد نورون‌ها در لایه ورودی شبکه بهینه  $42$  (تعداد ویژگی‌های مؤثر) و تعداد نورون‌ها در لایه خروجی یک (پیش‌بینی سطوح مختلف pH) و تعداد نورون‌ها در لایه پنهان



(الف)





(c)

(d)

شکل ۵ - ساختار بهینه شبکه عصبی مصنوعی بر اساس تمام ویژگی‌های استخراج شده (الف) ساختار بهینه، (ب) عملکرد اعتبارسنجی، (ج) ضرایب همبستگی و (د) ماتریس اغتشاش

**Fig. 5.** Optimal structure of the artificial neural network based on all extracted features: (a) optimal structure, (b) validation performance, (c) correlation coefficients, and (d) confusion matrix

موج‌ها، شش ویژگی شامل میانگین، حداقل، حداکثر، واریانس، میانه و انحراف معیار از طول موج کارای تصاویر فراطیفی استخراج گردید. در مجموع ۴۲ ویژگی مختلف استخراج شد. مقادیر متوسط هر یک از ویژگی‌های انتخابی در جدول ۱ آورده شده است.

**جدول ۱** - مقادیر میانگین ویژگی‌های انتخاب شده از تصاویر فراطیفی برای طبقه‌بندی کود پتاسیم

**Table 1-** Average values of selected features from hyperspectral images to classify potassium fertilizer

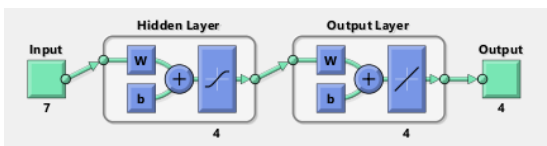
pH level	pH	میزان میانگین	2.5	2.6	2.8	2.9			
ویژگی Feature	طول موج (نانومتر) Wavelength (nanometers)	میانگین Mean	انحراف معیار Standard deviation	میانگین Mean	انحراف معیار Standard deviation	میانگین Mean	انحراف معیار Standard deviation		
میانگین Mean	798.11	$13.8 \times 10^{-4}$	$13.8 \times 10^{-4}$	$99.5 \times 10^{-3}$	$0.8 \times 10^{-4}$	$97.7 \times 10^{-3}$	$2.3 \times 10^{-4}$	$99.03 \times 10^{-3}$	$1.2 \times 10^{-4}$
حداقل Minimum	821.26	$83.1 \times 10^{-3}$	$12.1 \times 10^{-4}$	$93.1 \times 10^{-3}$	$2.6 \times 10^{-4}$	$86.5 \times 10^{-3}$	$6.9 \times 10^{-4}$	$90.7 \times 10^{-3}$	$3.8 \times 10^{-4}$
میانگین Mean	821.26	$97.9 \times 10^{-3}$	$13.1 \times 10^{-4}$	$99 \times 10^{-3}$	$1.2 \times 10^{-4}$	$96.5 \times 10^{-3}$	$2.04 \times 10^{-4}$	$98.4 \times 10^{-3}$	$1.6 \times 10^{-4}$
حداقل Minimum	901.47	$77 \times 10^{-3}$	$14.7 \times 10^{-4}$	$90.9 \times 10^{-3}$	$2.8 \times 10^{-4}$	$82.71 \times 10^{-3}$	$7.4 \times 10^{-4}$	$85.4 \times 10^{-3}$	$5 \times 10^{-4}$
میانگین Mean	901.47	$96.9 \times 10^{-3}$	$2.2 \times 10^{-4}$	$99.6 \times 10^{-3}$	$0.4 \times 10^{-4}$	$97.3 \times 10^{-3}$	$2.9 \times 10^{-4}$	$98.4 \times 10^{-3}$	$1.2 \times 10^{-4}$
واریانس Variance	901.47	$3.9 \times 10^{-3}$	$3 \times 10^{-4}$	$10.1 \times 10^{-3}$	$0.6 \times 10^{-4}$	$2.8 \times 10^{-3}$	$1.5 \times 10^{-4}$	$2.3 \times 10^{-3}$	$0.9 \times 10^{-4}$
میانگین Mean	932.06	$95.3 \times 10^{-3}$	$2.1 \times 10^{-4}$	$98.6 \times 10^{-3}$	$0.9 \times 10^{-4}$	$95.3 \times 10^{-3}$	$3.08 \times 10^{-4}$	$96.8 \times 10^{-3}$	$1.6 \times 10^{-4}$

طبق جدول ۱، میانگین مقادیر ویژگی میانگین در طول موج

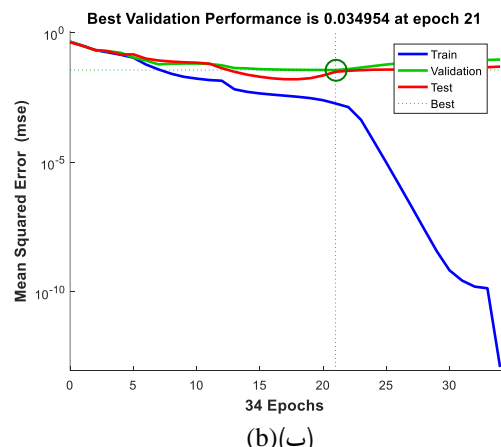
طبق جدول ۱، میانگین مقادیر ویژگی میانگین در طول موج

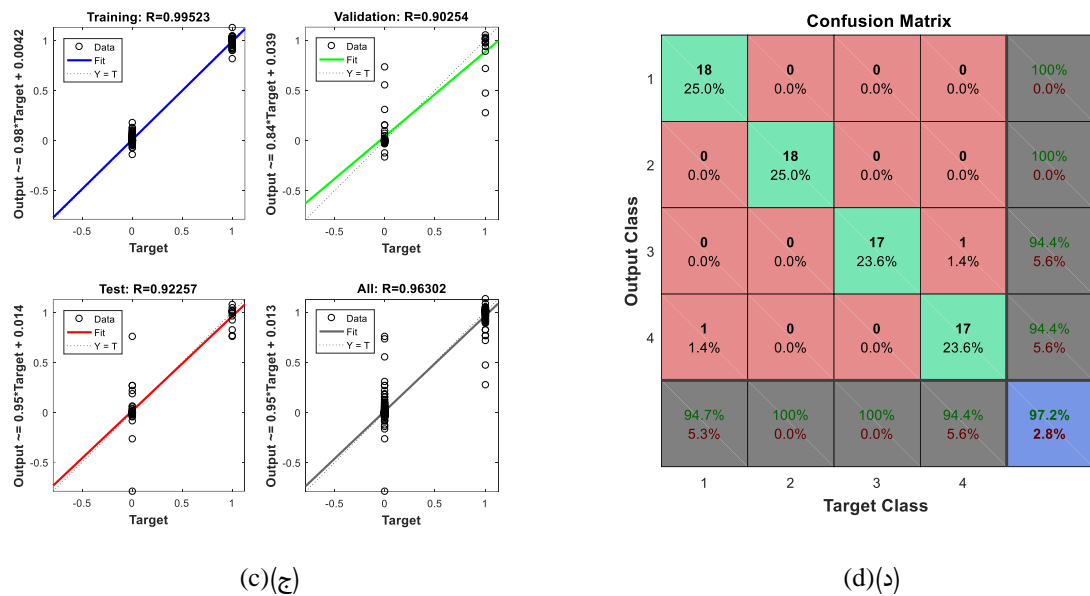
ویژگی کارای انتخاب شده برای طبقه بندی توسط روش شبکه عصبی مصنوعی مورد استفاده قرار گرفتند. ساختار مدل بهینه در این راهبرد به صورت ۴-۴-۷ بود که در آن تعداد نورون ها در لایه پنهان برابر با ۴ تعیین شد (شکل ۶-الف). عملکرد شبکه در مرحله اعتبارسنجی در شکل ۶-ب نمایش داده شده است. کمترین خطای اعتبارسنجی در دور ۲۱ با مقدار  $3/5$  به دست آمد. ضرایب همبستگی شبکه عصبی مصنوعی بهینه برای داده های آموزش، اعتبارسنجی، آزمون، و تمام داده ها در شکل ۶-ج نشان داده شده است. ضرایب همبستگی شبکه بهینه برای داده ها به ترتیب  $5/2$ ،  $5/9$ ،  $2/25$ ،  $2/9$ ،  $1/9$ ،  $1/2$ ،  $1/30$  و  $1/96$  بود. در ماتریس اختشاش (شکل ۶-د)، طبقات شماره ۱، ۲، ۳ و ۴ به ترتیب مربوط به سطوح pH  $2/5$ ،  $2/6$ ،  $2/8$  و  $2/9$  هستند. ماتریس اختشاش میزان مختلف pH نشان داد که طبقه بندی بهینه توانسته است  $70$  نمونه از  $72$  نمونه را به درستی شناسایی کند. بنابراین، میانگین دقت طبقه بندی شبکه عصبی مصنوعی بر اساس تمامی ویژگی های استخراج شده  $97/2$  درصد بود.

۹۹/۵x۱۰<sup>-۳</sup> قرار داشت که کمترین و بیشترین مقدار آن به ترتیب مربوط به سطوح ۲/۶ و pH ۲/۹ بودند. میانگین مقدار ویژگی حداقل برای سطوح ۲/۶ و pH ۲/۹ در طول موج ۸۲۱/۲۶ نانومتر به ترتیب  $1 \times 10^{-3}$ ,  $8.3 \times 10^{-3}$ ,  $9.3 \times 10^{-3}$ ,  $8.6 \times 10^{-3}$  و  $9.0 \times 10^{-3}$  بود. همچنین در همین طول موج، کمترین مقدار میانگین ویژگی میانگین معادل  $5 \times 10^{-3}$  برای pH برابر با ۲/۸ و بیشترین مقدار معادل  $9.6 \times 10^{-3}$  برای pH برابر با ۲/۶ بود. در طول موج ۹۰۱/۴۷ نانومتر، برای ویژگی حداقل، کمترین مقدار به سطح pH ۲/۵ و بیشترین مقدار به سطح pH ۲/۶ اختصاص داشت. همچنین در همان طول موج، میانگین مقدار ویژگی برای سطوح ۲/۵, ۲/۶, ۲/۸ و pH ۲/۹ به ترتیب  $1 \times 10^{-3}$ ,  $9.6 \times 10^{-3}$ ,  $9.6 \times 10^{-3}$ ,  $9.7 \times 10^{-3}$  و  $9.8 \times 10^{-3}$  بود. برای ویژگی واریانس نیز مقدار به ترتیب  $3 \times 10^{-3}$ ,  $3.9 \times 10^{-3}$ ,  $1.0 \times 10^{-3}$ ,  $2.8 \times 10^{-3}$  و  $2.3 \times 10^{-3}$  مشاهده شد. در طول موج ۹۳۲/۰۶ نانومتر، میانگین ویژگی در محدوده  $1 \times 10^{-3}$  تا  $9.8 \times 10^{-3}$  بود و همان طور که نتایج نشان می‌دهد، کمترین مقدار این ویژگی مربوط به pH ۲/۵ و بیشترین مقدار آن مربوط به



(الف) (a)





شکل ۶- ساختار بهینه شبکه عصبی مصنوعی بر اساس ویژگی‌های کارا (الف) ساختار بهینه، (ب) عملکرد اعتبارسنجی، (ج) ضرایب همبستگی و (د) ماتریش اغتشاش

**Fig. 6.** Optimal structure of artificial neural network based on the efficient features: (a) optimal structure, (b) validation performance, (c) correlation coefficients, and (d) confusion matrix

تمامی ویژگی‌ها و ۴-۷ هنگام استفاده از ویژگی‌های کارا بود. نتایج نشان داد که دقت طبقه‌بندی مدل بهینه بر اساس همه ویژگی‌های استخراج بالاتر (۹۸/۶ درصد) بود. این سطح بالای دقت طبقه‌بندی، پتانسیل توسعه یک سیستم بلاذرنگ برای طبقه‌بندی آنالاین پارامتر شیمیایی pH در کود پتاسیم را برجسته می‌کند. چنین سیستمی می‌تواند زمان و هزینه ارزیابی را به طور قابل توجهی کاهش دهد و در عین حال کاربردهای کارآمدتری را در محیط‌های صنعتی فراهم کند.

## سپاسگزاری

از دانشگاه ایلام به خاطر حمایت از پژوهش حاضر سپاسگزاری می‌شود. همچنین از شرکت مجتمع صنایع شیمیایی ایوان به خاطر فراهم کردن شرایط لازم اجرای این پژوهش قدردانی می‌شود.

## تعارض منافع

هیچ‌گونه تعارض منافعی توسط نویسندهای بیان نشده است.

## مشارکت نویسندها

محمدحسین نرگسی: جمع‌آوری داده‌ها، پردازش داده‌ها، شبیه‌سازی عددی/کامپیوتري، استخراج تهیه متن اولیه، پردازش داده‌ها، تحلیل آماری و خدمات نرم‌افزاری.

بالاترین دقت در تشخیص درصدهای مختلف pH با استفاده از روش ANN بر اساس تمام ویژگی‌های استخراج شده، برابر ۹۸/۶ درصد بود. این نتیجه نسبت به گزارش پاتیل و لد (Patil & Lad, 2021) که دقت ۹۳ درصد را برای تشخیص بیماری برگ گیاه فلفل با استفاده از روش ANN گزارش کرده بودند، عملکرد بهتری نشان دهد. علاوه بر این، دقت به دست آمده در این پژوهش با استفاده از روش ANN نسبت به تحقیق‌های گزارش شده برای سایر محصولات کشاورزی و غذایی بالاتر است (Vadivambal & Jayas, 2016).

## نتیجه‌گیری

توسعه ابزارهای دقیق، سریع و مقرون به صرفه برای اندازه‌گیری pH کود پتاسیم اهمیت زیادی دارد؛ زیرا به کشاورزان کمک می‌کند تا از اثرات منفی آن بر رشد گیاهان جلوگیری کند. در این پژوهش، چهار نمونه کود پتاسیم با سطوح مختلف pH با استفاده از روش تصویربرداری فراتیفی تشخیص داده شدند. طول موج‌های موثر شامل ۹۰۱/۴۷، ۸۲۱/۲۶، ۷۹۸/۱۱، ۶۶۹/۹۵، ۴۵۳/۳۲ و ۹۳۲/۰۶ می‌باشد. پس از استخراج و انتخاب ویژگی از کانال‌های متناظر با آن‌ها، سطوح مختلف pH نمونه‌ها با استفاده از روش شبکه عصبی مصنوعی و بر اساس همه ویژگی‌های استخراج شده ویژگی‌های کارای انتخاب شده طبقه‌بندی شدند. مدل بهینه برای شناسایی میزان سطوح مختلف pH کود پتاسیم دارای ساختار ۴-۶ هنگام استفاده از

کامران خیرعلی‌پور: نظارت و مدیریت، روش‌شناسی، مشاوره فنی، ویرایش متن و خدمات نرم‌افزاری.
زهراء مرادی: استخراج تهیه متن اولیه، ویرایش متن و خدمات نرم‌افزاری.
فاطمه ولی‌زاده کاخکی: مشاوره فنی، ویرایش متن و خدمات نرم‌افزاری.

## References

1. Ahmad, Z., Anjum, S., Waraich, E. A., Ayub, M. A., & Ahmad, T. (2018). Growth, physiology, and biochemical activities of plant responses with foliar potassium application under drought stress—a review, *Journal of Plant Nutrition* 41, 1734-1743. <https://doi.org/10.1080/01904167.2018.1459688>
2. Ahmed, W., Khaliduzzaman, A., Emmert, J. L., & Kamruzzaman, M. (2025). An overview of recent advancements in hyperspectral imaging in the egg and hatchery industry. *Computers and Electronics in Agriculture*, 230, 109847. <https://doi.org/10.1016/j.compag.2024.109847>
3. Allahvirdizadeh, N., & Deljou, M. N. (2014). Effect of humic acid on morph-physiological traits, nutrients uptake and postharvest vase life of pot marigold cut flower (*Calendula officinalis* cv. Crysanthia) in hydroponic system. *Journal of Science Technology of Greenhouse Culture*, 5(18), 133-143. (in Persian with English abstract). <https://dorl.net/dor/20.1001.1.20089082.1393.5.2.12.6>
4. Al-Taai, S. H. H. (2021). The effect of fertilizer uses on environmental pollution: A review. *Review of International Geographical Education Online*, 11(5), 3620-3529.
5. Arif Chaudhry, M. M., Bane, M., McAllister, T., Paliwal, J., & Narváez-Bravo, C. (2025). Identification and Classification of Multi-Species Biofilms on Polymeric Surfaces Using Hyperspectral Imaging. *Journal of Food Safety*, 45, e70008. <https://doi.org/10.1111/jfs.70008>
6. Aviara, N. A., Liberty, J. T., Olatunbosun, O. S., Shoyombo, H. A., & Oyeniyi, S. K. (2022). Potential application of hyperspectral imaging in food grain quality inspection, evaluation and control during bulk storage. *Journal of Agriculture and Food Research*, 8, 100288. <https://doi.org/10.1016/j.jafr.2022.100288>
7. Bagherpour, H., Fatehi, F., Shojaeian, A., & Bagherpour, R. (2025). Hyperparameter Optimization of ANN, SVM, and KNN Models for Classification of Hazelnuts Images Based on Shell Cracks and Feature Selection Method. *Journal of Agricultural Machinery*, 15(1), 129-144. <https://doi.org/10.22067/jam.2024.87830.1244>
8. Chen, J. H. (2006). The combined use of chemical and organic fertilizers and/or biofertilizer for crop growth and soil fertility. Paper presented at the international workshop on sustained management of the soil-rhizosphere system for efficient crop production and fertilizer use.
9. Ding, J., Zhang, R., Ahmed, S., Liu, Y., & Qin, W. (2019). Effect of sonication duration in the performance of polyvinyl alcohol/chitosan bilayer films and their effect on strawberry preservation. *Molecules*, 24(7), 1408. <https://doi.org/10.3390/molecules24071408>
10. Fernandez, L. C., Allende-Prieto, J., & Peon, E. (2019). Preliminary Assessment of Visible, Near-Infrared, and Short-Wavelength–Infrared Spectroscopy with a Portable Instrument for the Detection of *Staphylococcus aureus* Biofilms on Surfaces. *Journal of Food Protection*, 82(8), 1314-1319. <https://doi.org/10.4315/0362-028X.JFP-18-567>
11. Gowen, A. A., O'Donnell, C. P., Cullen, P. J., Downey, G., & Frias, J. M. (2007). Hyperspectral imaging—an emerging process analytical tool for food quality and safety control. *Trends in Food Science & Technology*, 18, 590-598. <https://doi.org/10.1016/j.tifs.2007.06.001>
12. Griffé, P., Metha, S., & Shankar, D. (2003). Organic production of medicinal, aromatic and dye yielding plants (MADPs): forward, preface and introduction. *Food Agriculture Organization*, 2, 52-63.
13. Hasan, M. M., Chaudhry, M. M. A., Erkinbaev, C., Paliwal, J., Suman, S. P., & Rodas- Gonzalez, A. (2022). Application of Vis-NIR and SWIR Spectroscopy for the Segregation of Bison Muscles Based on Their Color Stability. *Meat Science*, 188, 108774. <https://doi.org/10.1016/j.meatsci.2022.108774>
14. Hosainpour, A., Kheiraliipour, K., Nadimi, M., & Paliwal, J. (2022). Quality assessment of dried white mulberry (*Morus alba* L.) using machine vision. *Horticulturae*, 8(11), 1011. <https://doi.org/10.3390/horticulturae8111011>
15. Ismail, A., Yim, D.-G., Kim, G., & Jo, C. (2023). Hyperspectral imaging coupled with multivariate analyses for efficient prediction of chemical, biological and physical properties of seafood products. *Food Engineering Reviews*, 15, 41-55. <https://doi.org/10.1007/s12393-022-09327-x>
16. Khan, M. H., Saleem, Z., Ahmad, M., Sohaib, A., Ayaz, H., & Mazzara, M. (2020). Hyperspectral imaging for color adulteration detection in red chili. *Applied Sciences*, 10, 5955. <https://doi.org/10.3390/app10175955>
17. Khazaee, Y., Kheiraliipour, K., Hosainpour, A., Javadikia, H., & Paliwal, J. (2022). Development of a novel image analysis and classification algorithms to separate tubers from clods and stones. *Potato Research*, 65, 1-22. <https://doi.org/10.1007/s11540-021-09528-7>
18. Kheiraliipour, K. (2024). *The future of imaging technology*. Nova Science Publishers, Hauppauge, New York, USA. ISBN 979-8-89530-078-7.
19. Kheiraliipour, K. (2022). *Sustainable production: Definitions, aspects, and elements*. (1<sup>st</sup> ed.), Nova Science

- Publishers, Hauppauge, New York, USA. ISBN 979-8-88697-208-5.
- 20. Kheiralipour, K. (2012). Implementation and construction of a system for detecting fungal infection in pistachio kernel based on thermal imaging (TI) and image processing technology. Ph.D. Dissertation, University of Tehran, Karaj, Iran.
  - 21. Kheiralipour, K., Ahmadi, H., Rajabipour, A., & Rafiee, S. (2018). Thermal imaging, principles, methods and applications. Ilam University Publication. Ilam, IR Iran.
  - 22. Kheiralipour, K., Ahmadi, H., Rajabipour, A., Rafiee, S., & Javan-Nikkhah, M. (2015a). Classifying healthy and fungal infected-pistachio kernel by thermal imaging technology. *International Journal of Food Properties*, 18(1), 93-99. <https://doi.org/10.1080/10942912.2012.717155>
  - 23. Kheiralipour, K., Ahmadi, H., Rajabipour, A., Rafiee, S., Javan-Nikkhah, M., & Jayas, D. S. (2014). Detection of healthy and fungal-infected pistachios based on hyperspectral image processing. 8<sup>th</sup> Iranian national congress of agricultural machinery engineering (biosystems) and mechanization, 29-31 January, Mashhad, Iran.
  - 24. Kheiralipour, K., Ahmadi, H., Rajabipour, A., Rafiee, S., Javan-Nikkhah, M., Jayas, D. S., & Siliveru, K. (2015b). Detection of fungal infection in pistachio kernel by long-wave near-infrared hyperspectral imaging technique. *Quality Assurance and Safety of Crops & Foods*, 8(1), 129-135. <https://doi.org/10.3920/QAS2015.0606>
  - 25. Kheiralipour, K., Ahmadi, H., Rajabipour, A., Rafiee, S., Javan-Nikkhah, M., Jayas, D. S., Siliveru, K., & Malihipour, A. (2021). Processing the hyperspectral images for detecting infection of pistachio kernel by R5 and KK11 isolates of *Aspergillus flavus* fungus. *Iranian Journal of Biosystems Engineering*, 52(1), 13-25. <https://doi.org/10.22059/ijbse.2020.299712.665293>
  - 26. Kheiralipour, K., Chelladurai, V., & Jayas, D. S. (2023a). *Imaging Systems and Image Processing Techniques*. In Image Processing: Advances in Applications and Research. Edited by Jayas, D.S. New York, USA: Nova Science Publishers.
  - 27. Kheiralipour, K., & Marzbani, F. (2016). Pomegranate quality sorting by image processing and artificial neural network. 10<sup>th</sup> Iranian national congress on agricultural machinery (biosystems) and mechanization, 29-31 August, Mashhad, Iran.
  - 28. Kheiralipour, K., Sajadipour, F., & Nargesi, M. H. (2025). Applications of spectral imaging in Biosystems engineering in Iran, A review. Recent Progress in Science, Accepted manuscript. <https://doi.org/10.70462/rps.2025.2.007>
  - 29. Kheiralipour, K., & Jayas, D. S. (2024). Current and future applications of hyperspectral imaging in agriculture, nature and food. *Trends in Technical & Scientific Research*, 7(2), 1-9.
  - 30. Kheiralipour, K., & Jayas, D. S. (2023). Applications of near infrared hyperspectral imaging in agriculture, natural resources, and food in Iran. 15<sup>th</sup> national and 1st international congress of mechanics of biosystems engineering and agricultural mechanization, Karaj, Iran.
  - 31. Li, C., He, M., Cai, Z., Qi, H., Zhang, J., & Zhang, C. (2023). Hyperspectral imaging with machine learning approaches for assessing soluble solids content of tribute citru. *Foods*, 12, 247. <https://doi.org/10.3390/foods12020247>.
  - 32. Lin, Y., Ma, J., Wang, Q., & Sun, D.-W. (2023). Applications of machine learning techniques for enhancing nondestructive food quality and safety detection. *Critical Reviews in Food Science and Nutrition*, 63, 1649-1669. <https://doi.org/10.1080/10408398.2022.2131725>
  - 33. Min, D., Zhao, J., Bodner, G., Ali, M., Li, F., Zhang, X., & Rewald, B., (2023). Early decay detection in fruit by hyperspectral imaging—Principles and application potential. *Food Control*, 152, 109830. <https://doi.org/10.1016/j.foodcont.2023.109830>
  - 34. Nargesi, M. H., Amiriparian, j., Bagherpour, H., & Kheiralipour, K. (2024b). Detection of different adulteration in cinnamon powder using hyperspectral imaging and artificial neural network method. *Results in Chemistry*, 9, 101644. <https://doi.org/10.1016/j.rechem.2024.101644>
  - 35. Nargesi, M. H., & Kheiralipour, K. (2024). Visible feature engineering to detect adulteration in black and red peppers. *Scientific Reports*, 14, 25417. <https://doi.org/10.1038/s41598-024-76617-1>
  - 36. Nargesi, M. H., Kheiralipour, K., & Jayas, D. S. (2024c). Classification of different wheat flour types using hyperspectral imaging and machine learning techniques. *Infrared Physics & Technology*, 142, 105520. <https://doi.org/10.1016/j.infrared.2024.105520>
  - 37. Nargesi, M. H. (2024). Detection of fraud in black pepper, red pepper, and cinnamon powder using hyperspectral imaging and artificial neural network. Ph.D. Dissertation, University of Bu-Ali Sina. Pages 11-130.
  - 38. Nargesi, M. H., Heidarbeigi, K., Moradi, Z., & Abdolah, S. (2024a). Detection of chlorine in potassium chloride and potassium sulfate using chemical imaging and artificial neural network. *Spectrochimica Acta Part A: Molecular and Biomolecular Spectroscopy*, 326, Pages 125253. <https://doi.org/10.1016/j.saa.2024.125253>
  - 39. Naser, A. A. (2017). Study of response Trigonella foenum-graecum to spraying with high potassium (Miller) and high phosphor (Agroleaf). *Tikrit Journal of Pure Science*, 22(9), 6-10. <https://doi.org/10.25130/tjps.v22i9.866>
  - 40. Nashmil, F., Mardani, A., Hosainpour, A., & Golanzbari, B. (2025). Prediction of Rut Depth in Soil Caused by Wheels Using Artificial Neural Networks. *Journal of Agricultural Machinery*, 15(2), 263-274. (in Persian with

English abstract). <https://doi.org/10.22067/jam.2024.90273.1295>

41. Noshirvani, N., & Mohebi, A. (2023). Investigation of chemical and microbial properties of date syrup during production stages (from raw material to final product). *Iranian Journal of Food Science and Industry*, 20(139). (in Persian). <https://doi.org/10.22034/FSC.20.139.109>
42. Pahalvi, H. N., Rafiya, L., Rashid, S., Nisar, B., & Kamili, A. N. (2021). Chemical Fertilizers and Their Impact on Soil Health. In: Dar, G.H., Bhat, R.A., Mehmood, M.A., Hakeem, K.R. (eds) Microbiota and Biofertilizers, Vol 2. Springer, Cham. [https://doi.org/10.1007/978-3-030-61010-4\\_1](https://doi.org/10.1007/978-3-030-61010-4_1)
43. Pandey, V., & Patra, D. (2015). Crop productivity, aroma profile and antioxidant activity in Pelargonium graveolens L'Hér. under integrated supply of various organic and chemical fertilizers. *Industrial Crops Products*, 67, 257-263. <https://doi.org/10.1016/j.indcrop.2015.01.042>
44. Park, J.-J., Cho, J.-S., Lee, G., Yun, D.-Y., Park, S.-K., Park, K.-J., & Lim, J.-H. (2023). Detection of Red Pepper Powder Adulteration with Allura Red and Red Pepper Seeds Using Hyperspectral Imaging. *Foods*, 12, 3471. <https://doi.org/10.3390/foods12183471>
45. Patil, A., & Lad, K. (2021). Chili Plant Leaf Disease Detection Using SVM and KNN Classification. Springer Nature Singapore Pte Ltd. 2021 V. S. Rathore et al. (eds.), Rising Threats in Expert Applications and Solutions, Advances in Intelligent Systems and Computing 1187. [https://doi.org/10.1007/978-981-15-6014-9\\_26](https://doi.org/10.1007/978-981-15-6014-9_26)
46. Perramon, B., Bosch-Serra, A., Domingo, F., & Boixadera, J. (2016). Organic and mineral fertilization management improvements to a double-annual cropping system under humid Mediterranean conditions. *European Journal of Agronomy*, 76, 28-40. <https://doi.org/10.1016/j.eja.2016.01.014>
47. Qi, W., Wang, C., & Guo, X. (2017). Study on plant behavior perception based on computer vision: A review. *Jiangsu Journal of Agricultural Sciences*, 45, 20-26.
48. Saha, D., & Manickavasagan, A. (2021). Machine learning techniques for analysis of hyperspectral images to determine quality of food products: A review. *Current Research in Food Science*, 4, 28-44. <https://doi.org/10.1016/j.crefs.2021.01.002>
49. Salam, S., Kheiraliipour, K., & Jian, F. (2022). Detection of unripe kernels and foreign materials in chickpea mixtures using image processing. *Agriculture*, 12(7), 995. <https://doi.org/10.3390/agriculture12070995>
50. Sakinejad, T. (2003). Study of effect of water deficit on the trend of uptake of N, P, K and Na at different growth stages considering the morphological and physiological traits of maize in Ahvaz climate. Ph.D. Dissertation on Crop Physiology, Science and Research Branch, Ahvaz, Iran.
51. Scharf, P. C., Kitchen, N. R., Sudduth, K. A., Davis, J. G., Hubbard, V. C., & Lory, J. A. (2005). Field-scale variability in optimal nitrogen fertilizer rate for corn. *Agronomy Journal*, 97(2), 452-461. <https://doi.org/10.2134/agronj2005.0452>
52. Shabbir Dar, J., Akhtar Cheema, M., Ishaq Asif Rehmani, M., Khuhro, S., Rajput, S., Latif Virk, A., Hussain, S., Amjad Bashir, M., Suliman, M., Al-Zuaibr, M., Javed Ansari, M., & Hessini, K. (2021). Potassium fertilization improves growth, yield and seed quality of sunflower (*Helianthus annuus* L.) under drought stress at different growth stages. *PLOS ONE*, 16(9), e0256075. <https://doi.org/10.1371/journal.pone.0256075>
53. Sharma, S., Sirisomboon, P., Sumesh, K., Terdwongworakul, A., Phetpan, K., Kshetri, T. B., & Sangwanangkul, P. (2023). Near-infrared hyperspectral imaging combined with machine learning for physicochemical-based quality evaluation of durian pulp. *Postharvest Biology and Technology*, 200, 112334. <https://doi.org/10.1016/j.postharvbio.2023.112334>
54. Siadat, S. A., & Moradi-Telavat, M. R. (2018). Practical Aspects of Organic Farming. Tehran: Agricultural Education and Extension Press, 500 p. (in Persian).
55. Soni, A., Dixit, Y., Reis, M. M., & Brightwell, G. (2022). Hyperspectral imaging and machine learning in food microbiology: Developments and challenges in detection of bacterial, fungal, and viral contaminants. *Comprehensive Reviews in Food Science and Food Safety*, 21, 3717-3745. <https://doi.org/10.1111/1541-4337.12983>
56. Sun, Y., Tong Ch., He, Sh., Wang, K., & Chen, L. (2018). Identification of Nitrogen, Phosphorus, and Potassium Deficiencies Based on Temporal Dynamics of Leaf Morphology and Color. *Sustainability*, 10, 762. <https://doi.org/10.3390/su10030762>
57. Vadivambal, R., & Jayas, D. S. (2016) Bio-Imaging: Principles, Techniques, and Applications. CRC Press, Taylor and Francis Group, New York, NY, US.
58. Wu, X. Y., Zhu, S. P., Huang, H., & Xu, D. (2017). Quantitative identification of adulterated sichuan pepper powder by near-infrared spectroscopy coupled with chemometrics. *Journal of Food Qualit*, 5019816. <https://doi.org/10.1155/2017/5019816>
59. Xue, X., Tian, H., Zhao, K., Yu, Y., Zhusuo, C., Xiao, Z., & Wan, D. (2025). Non-Destructive Detection of pH Value During Secondary Fermentation of Maize Silage Using Colorimetric Sensor Array Combined with Hyperspectral Imaging Technology. *Agronomy*, 15, 285. <https://doi.org/10.3390/agronomy15020285>
60. Yang, F., Sun, J., Cheng, J., Fu, L., Wang, S., & Xu, M. (2023). Detection of starch in minced chicken meat based on hyperspectral imaging technique and transfer learning. *Journal of Food Process Engineering*, 46, e14304. <https://doi.org/10.1111/jfpe.14304>

61. Zhao, J., Ni, T., Li, J., Lu, Q., Fang, Z., Huang, Q., Zhang, R., Li, R., Shen, B., & Shen, Q. (2016). Effects of organic-inorganic compound fertilizer with reduced chemical fertilizer application on crop yields, soil biological activity and bacterial community structure in a rice-wheat cropping system. *Applied Soil Ecology*, 99, 1-12. <https://doi.org/10.1016/j.apsoil.2015.11.006>